УДК 620.3

## ИССЛЕДОВАНИЕ ВЛИЯНИЯ АТОМОВ БЛАГОРОДНЫХ МЕТАЛЛОВ НА ПРОВОДЯЩИЕ СВОЙСТВА УГЛЕРОДНОЙ НАНОТРУБКИ

## Д. Ф. СЕРГЕЕВ

Научный руководитель Н. П. БОРОЗНИНА, д-р физ.-мат. наук, доц. Волгоградский государственный университет Волгоград, Россия

Использование композитов с металлической матрицей, состоящих из различных комбинаций металлов, стало широко распространенным в различных видах промышленности [1]. Это объясняется наличием у данных материалов свойств, демонстрирующих их преимущество перед базовыми материалами [1, 2].

При этом современные тенденции по дальнейшей миниатюризации создают новый вызов перед промышленностью. Он заключен в улучшении нынешних свойств объектов с учетом их значительно меньших размеров [2].

Применение функционализированных нанотрубок призвано решить данную проблему за счет их различных улучшенных свойств [3–5].

Чтобы определить влияние атомов Pt и Au на проводящие свойства углеродной нанотрубки (УНТ) после функционализации, а также для достижения наибольшей точности при выявлении их месторасположения относительно поверхности УНТ, было создано три модели для каждого из анализируемых атомов (рис. 1).

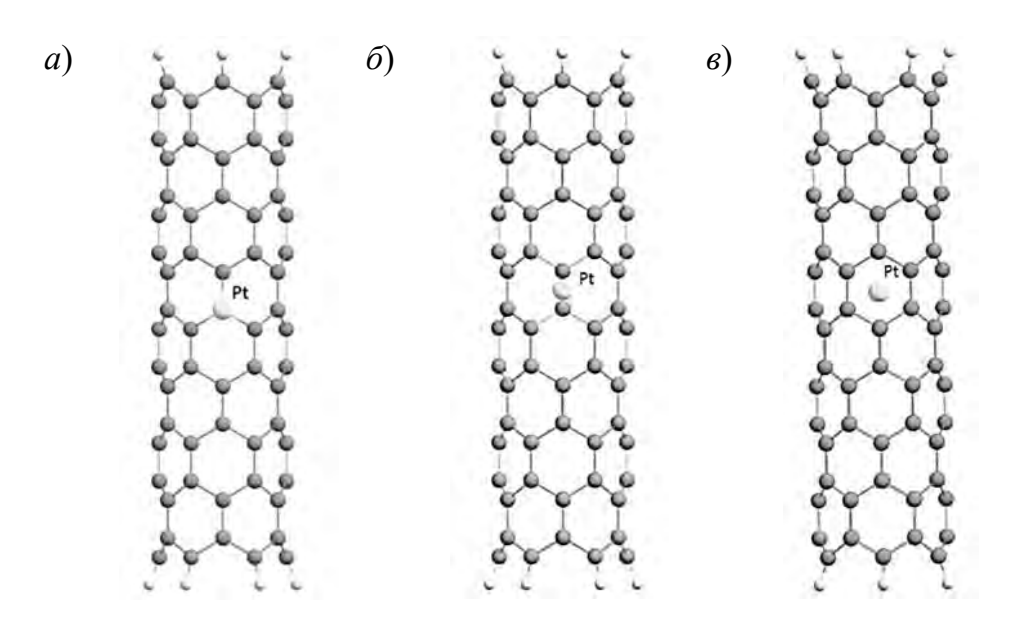


Рис. 1. Модель УНТ с присоединенным атомом платины: a — над атомом C;  $\delta$  — над центром связи C-C;  $\epsilon$  — над центром гексагона УНТ

Для получения исчерпывающего объема данных моделирование хода взаимодействия УНТ с атомами Pt и Au проходило с шагом в 0,01 нм к каждому из адсорбционных центров (см. рис. 1). Приближались данные атомы перпен-

дикулярно к продольной оси УНТ, при этом каждый шаг сопровождался расчетом потенциальной энергии полученной системы.

Проведенное исследование позволило установить наиболее вероятное, с энергетической точки зрения, месторасположение атомов Pt и Au на поверхности УНТ при ее функционализации. Им является расположение атомов благородных металлов над центром связи C-C поверхности УНТ (см. рис.  $1, \delta$ ). Оно было определено по наилучшей энергии взаимодействия из всех анализируемых систем.

Величина запрещенной зоны (ШЗЗ) представляет собой разность энергий верхней заполненной и нижней вакантной орбиталей. С помощью ШЗЗ определяются проводящие свойства материалов, включая различные наноструктуры. Для ее вычисления используется следующая формула:

$$\Delta E_g = E_{LUMO} - E_{HOMO}. \tag{1}$$

ШЗЗ у УНТ типа (6.0) без каких-либо модификаций составляет 0,69 эВ. При присоединении к «чистой» УНТ атомов Рt и Au наблюдается ее уменьшение, в случае Рt — до 0,62 эВ, в случае Au — до 0,59 эВ.

Заключение. Выполненные квантово-химические расчеты позволили установить следующее.

- 1. С точки зрения стабильности конфигурации наиболее оптимальным положением атомов платины и золота относительно поверхности УНТ является их нахождение над центром углеродной связи.
- 2. При присоединении данных атомов благородных металлов к центру углеродной связи УНТ происходит уменьшение ширины запрещенной зоны, что свидетельствует об улучшении проводящих свойств полученных систем.

## СПИСОК ИСПОЛЬЗОВАННОЙ ЛИТЕРАТУРЫ

- 1. **Kumar, A.** Recent progress in production of metal matrix composites by stir casting process: An overview / A. Kumar, R. C. Singh, R. Chaudhary // Materials Today: Proceedings. 2020. Vol. 21. P. 1453–1457.
- 2. **Aryasomayajula, L.** Carbon nanotube composites for electronic packaging applications / L. Aryasomayajula, K. J. Wolter // Journal of Nanotechnology. 2013. Vol. 2013, № 1. P. 296517.
- 3. **Hamadanian, M.** Modification of conductive properties of (10, 0) zigzag single-walled carbon nanotubes (SWCNT) by alkali metals absorption / M. Hamadanian, Z. Tavangar, B. Noori // Journal of Molecular Structure. 2014. Vol. 1076. P. 49–54.
- 4. Carbon nanotube/two-dimensional metal-organic framework composites with enhanced thermoelectric performances for thermoelectric generators / C. Y. Lin [et al.] // Chemical Engineering Journal. 2025. P. 166861.
- 5. Evaluating the performance of metal-doped anthracene nanotubes for gas sensing applications / M. A. S. Sakr [et al.] // Materials Science and Engineering : B. 2025. Vol. 317. P. 118160.